

## EXERCICE 1 : Étude de la cinétique de l'hydrolyse d'un complexe du fer : (D'après e3a PC 2022) (27 pts)

**Q1.** Il est préférable de travailler à la longueur d'onde correspondant au maximum d'absorption : On choisira donc  $\lambda \approx 520 \text{ nm}$ .

**Q2.** L'acide fort  $HCl$  accélère la réaction sans intervenir dans l'équation bilan, c'est donc un catalyseur.

**Q3.** On nous donne  $v = k \cdot [H_2O]^\alpha \cdot [H^+]^\beta \cdot [Fe(Phen)_3]^{2+}]^\gamma$  (1)

Or, il est précisé que  $[H^+]_0 = 2 \text{ mol} \cdot L^{-1}$  et que l'eau est le solvant.

De plus, on nous donne :  $[Fe(Phen)_3]^{2+}]_0 = 2,6 \cdot 10^{-4} \text{ mol} \cdot L^{-1}$ .

Ainsi,  $[H_2O]_0 \gg [Fe(Phen)_3]^{2+}]_0$  et  $[H^+]_0 \gg [Fe(Phen)_3]^{2+}]_0$  : Il y a dégénérescence de l'ordre et la vitesse de la réaction peut s'écrire sous la forme :

$$v = k_{app} [Fe(Phen)_3]^{2+}]^\gamma \text{ avec } k_{app} = k[H_2O]^\alpha [H^+]^\beta$$

**Q4.** D'après la définition de la vitesse, on sait que  $v = -\frac{d[Fe(Phen)_3]^{2+}]}{dt} = k_{app} [Fe(Phen)_3]^{2+}]^\gamma$

Supposons que  $\gamma = 1$ , comme le propose l'énoncé :

Alors on obtient l'équation différentielle d'ordre 1 :  $\frac{d[Fe(Phen)_3]^{2+}]}{dt} + k_{app} [Fe(Phen)_3]^{2+}] = 0$ .

Alors on sait que la solution est de la forme :  $[Fe(Phen)_3]^{2+}] = Cste e^{-k_{app} t}$ .

CI : A  $t = 0$ ,  $[Fe(Phen)_3]^{2+}]_0 = [Fe(Phen)_3]^{2+}]_0 = cste = 2,6 \cdot 10^{-4} \text{ mol} \cdot L^{-1}$ .

Soit :  $[Fe(Phen)_3]^{2+}] = [Fe(Phen)_3]^{2+}]_0 e^{-k_{app} t}$

**Q5.** Ou encore :  $\ln([Fe(Phen)_3]^{2+}]) = \ln([Fe(Phen)_3]^{2+}]_0) - k_{app} t$ .

Il faut encore relier  $[Fe(Phen)_3]^{2+}]$  et absorbance.

Seule l'espèce  $[Fe(Phen)_3]^{2+}]$  absorbe, donc :

Loi de Beer-Lambert :  $A = \varepsilon(\lambda) l [Fe(Phen)_3]^{2+}]$  et  $A_0 = \varepsilon(\lambda) l [Fe(Phen)_3]^{2+}]_0$

Ainsi l'équation précédente devient :  $\ln \frac{A}{\varepsilon(\lambda) l} = \ln \frac{A_0}{\varepsilon(\lambda) l} - k_{app} t$

En simplifiant à gauche et à droite par  $-\ln(\varepsilon(\lambda) l)$ , il vient :  $\ln(A) = \ln(A_0) - k_{app} \times t$  ;

Où  $A_0$  est l'absorbance de la solution à  $t = 0$ .

On fait donc la régression linéaire de  $\ln(A)$  en fonction du temps  $t$  sous la forme :  $y = ax + b$ .

On obtient :  $a = -0,038$  (en laissant le temps  $t$  en min)

$$b = 0,024$$

$$\text{Et } r = -0,99924$$

La valeur du coefficient de corrélation  $|r| > 0,999$  permet de conclure que les points sont bien alignés ce qui valide que la cinétique est d'ordre 1 par rapport à  $[Fe(Phen)_3]^{2+}]$ , donc que  $\gamma = 1$ .

Et par indentification, on obtient  $k_{app} = -a = 0,038 \text{ min}^{-1} = \frac{0,038}{60} = 6,3 \cdot 10^{-4} \text{ s}^{-1}$ .

**Q6.** D'après la loi d'Arrhenius :  $k_{app} = B e^{-\frac{E_a}{RT}}$  ou  $\ln(k_{app}) = \ln(B) - \frac{E_a}{RT}$ .

On fait donc la régression linéaire de  $\ln(k_{app})$  en fonction de  $\frac{1}{T}$  sous la forme :  $y = a'x + b'$ .

On obtient :  $a' = -14974 \approx -1,5 \cdot 10^4$

$$b' = 40,5$$

$$\text{Et } r' = -0,9995.$$

La valeur du coefficient de corrélation  $|r| > 0,999$  permet de conclure que les points sont bien alignés, donc que la loi d'Arrhenius est bien vérifiée.

Et par indentification, on obtient  $a' = -\frac{E_a}{R}$  ; soit :  $E_a = -R a'$  :

AN :  $E_a = -8,31 \times (-1,5 \cdot 10^4)$  ; On obtient donc :  $E_a \approx 124,6 \text{ kJ} \cdot \text{mol}^{-1}$ .

## EXERCICE 2 : Étude d'un réseau en régime sinusoïdal forcé : (D'après ENAC 2022)

(≈ 32 pts)

**Q1.** Les impédances  $\underline{Z}_C$ ,  $\underline{Z}_L$  et  $\underline{Z}_R$  sont en série.  
Un pont diviseur de tension permet d'écrire :

$$\frac{\underline{u}_{C,m}}{\underline{u}_{e,m}} = \frac{\underline{Z}_C}{\underline{Z}_C + \underline{Z}_L + \underline{Z}_R} = \frac{\frac{1}{jC\omega}}{\frac{1}{jC\omega} + jL\omega + R + r_L}$$

Soit  $\frac{\underline{u}_{C,m}}{\underline{u}_{e,m}} = \frac{1}{1 - LC\omega^2 + jC(R+r_L)\omega} = \frac{1}{1 - LC\omega_0^2 \frac{\omega^2}{\omega_0^2} + jC(R+r_L)\frac{\omega}{\omega_0} \omega_0}$ .

En posant  $\omega_0 = \frac{1}{\sqrt{LC}}$  ou  $LC\omega_0^2 = 1$  et  $x = \frac{\omega}{\omega_0}$ ,  
on peut écrire cette expression sous la forme :

$$\frac{\underline{u}_{C,m}}{\underline{u}_{e,m}} = \frac{1}{1 - x^2 + jC\omega_0(R+r_L)x}; \text{ Ou encore : } \frac{\underline{u}_{C,m}}{\underline{u}_{e,m}} = \frac{1}{1 - x^2 + jC\omega_0(R+r_L)x}.$$

Par identification avec  $\frac{\underline{u}_{C,m}}{\underline{u}_{e,m}} = \frac{H_0}{1 + j\frac{x}{Q} - x^2}$ . On en déduit que  $H_0 = 1$ .

**Réponses A et D.**

**Q2.** Enfin, par identification, on a aussi  $C\omega_0(R+r_L) = \frac{1}{Q}$ ; Soit :  $Q = \frac{1}{C\omega_0(R+r_L)} = \frac{L\omega_0}{(R+r_L)} = \frac{1}{(R+r_L)}\sqrt{\frac{L}{C}}.$

**Réponse B.**

**Q3.** On se place en  $\omega = \omega_0$ .

Exprimons  $\underline{Z}_{eq}$  équivalent à l'association série de la bobine, du condensateur et de la résistance  $R$ .

$$\text{Alors } \underline{Z}_{eq} = R + r_L + jL\omega + \frac{1}{jC\omega} = R + r_L + jL\omega - j\frac{1}{C\omega}$$

Or en  $\omega = \omega_0$ , comme  $LC\omega_0^2 = 1$ , il vient que :  $L\omega_0 = \frac{1}{C\omega_0}$ ; Ainsi  $jL\omega_0 - j\frac{1}{C\omega_0} = 0$ .

Et  $\underline{Z}_{eq} = r_L + R$ .

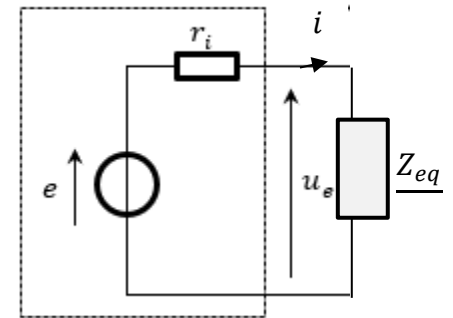
On a alors le circuit équivalent ci-contre :

On remarque que  $\underline{Z}_{eq}$  et  $r_i$  son en série.

$$\text{Pont diviseur de tension : } \frac{\underline{u}_{e,m}}{e_m} = \frac{\underline{Z}_{eq}}{\underline{Z}_{eq} + r_i}.$$

$$\text{Ainsi : } \frac{\underline{u}_{e,m}}{e_m} = \frac{R+r_L}{R+r_L+r_i} \text{ ou } \underline{u}_{e,m} = \frac{R+r_L}{R+r_L+r_i} e_m.$$

**Réponse C.**



**Q4.** D'après le schéma équivalent ci-dessus :  $\underline{e}_m = (\underline{Z}_{eq} + r_i)\underline{i}_m$ .

Avec  $\underline{Z}_{eq} = r_L + R$ ; Or  $\underline{e}_m = e_m$ , ainsi :  $\underline{i}_m = \frac{e_m}{R+r_L+r_i}$ .

D'autre part, en reprenant :  $\frac{\underline{u}_{C,m}}{\underline{u}_{e,m}} = \frac{H_0}{1 + j\frac{x}{Q} - x^2}$  et comme  $\omega = \omega_0$  alors  $x = 1$ .

Ainsi :  $\frac{\underline{u}_{C,m}}{\underline{u}_{e,m}} = \frac{H_0}{1 + j\frac{1}{Q} - 1} = -jQH_0$ ; D'où  $\underline{u}_{C,m} = -jQH_0\underline{u}_{e,m}$ ; enfin  $\underline{u}_{e,m} \neq e_m$  **Réponses B et C.**

**Q5.** Par définition de l'impédance,  $\underline{u}_{L,m} = (jL\omega_0 + r_L)\underline{i}_m = (jL\omega_0 + r_L)\frac{e_m}{R+r_L+r_i} = \left(\frac{r_L}{R+r_L+r_i} + j\frac{L\omega_0}{R+r_L+r_i}\right)e_m$  :

Par identification avec  $\underline{u}_{L,m} = (a + jb)e_m$  : On obtient :  $a = \frac{r_L}{R+r_L+r_i}$  :

**Réponse A.**

**Q6.** On identifie également  $b = \frac{L\omega_0}{R+r_L+r_i}$  avec  $\omega_0 = \frac{1}{\sqrt{LC}}$ ; il vient :  $L\omega_0 = \sqrt{\frac{L}{C}}$

$$\text{Ainsi : } b = \frac{1}{R+r_L+r_i}\sqrt{\frac{L}{C}} :$$

**Réponse C.**

# PROBLEME 1 : Modélisation d'un double vitrage :

(≈ 63 pts)

(D'après EPITA – IPSA MP, PSI, PC 2022).

I – Présentation de l'isolation acoustique :

**Q1.** Les fréquences audibles sont situées entre **20 Hz et 20 kHz**.

II – Étude du régime forcé d'un double vitrage :

**Q2.** Il s'agit de la **même baisse que pour le vitrage simple** ; Il y a toujours la **fréquence critique**.

**Q3.** Force de rappel du ressort sur la masse 2 ou force de Hooke :

$\vec{F} = -k(l(t) - l_0)\vec{e}_x = -k(x_2 - x_1 - l_0)\vec{e}_x$ , car  $l(t) = x_2 - x_1$  et si  $l(t) > l_0$ ,  $\vec{F}$  est orienté vers la gauche.

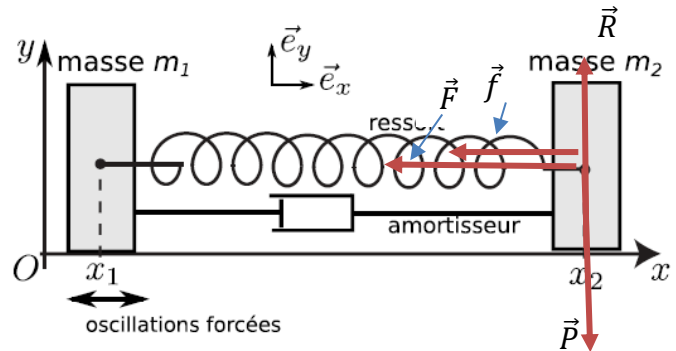
**Q4. Référentiel d'étude** : Référentiel terrestre  $\mathcal{R}(O, x, z)$  supposé galiléen.

Base de projection : Base cartésienne  $(O, x, y)$  de vecteurs unitaires  $\vec{e}_x$  et  $\vec{e}_y$ .

Système : la vitre de masse  $m_2$ .

Bilan des forces :

- Poids :  $\vec{P} = m_2 \vec{g} = -m_2 g \vec{e}_y$ .
- Réaction du support :  $\vec{R} = R \vec{e}_y$  ;  $\vec{R}$  est orthogonale au déplacement car mvt sans frottements sur le support.
- Force de rappel du ressort ou force de Hooke :  $\vec{F} = -k(x_2 - x_1 - l_0)\vec{e}_x$ .
- Force de frottement fluide (donnée par l'énoncé) :  $\vec{f} = -\alpha(\dot{x}_2 - \dot{x}_1)\vec{e}_x$



2ème loi de Newton (principe fondamental de la dynamique):

- $\sum \vec{F} = m\vec{a} = m\frac{d\vec{v}}{dt}$ , d'où  $\vec{P} + \vec{R} + \vec{F} + \vec{f} = m_2 \vec{a}$  avec  $\vec{a} = \ddot{x}_2 \vec{e}_x$  car le mvt se fait sur  $Ox$ .
- Projétons sur les 2 axes :

$$\text{Sur } \vec{e}_y : R - m_2 g = 0. \quad (2) \quad (\text{pas de mvt sur } Oy).$$

$$\text{Sur } \vec{e}_x : m_2 \ddot{x}_2 = -k(x_2 - x_1 - l_0) - \alpha(\dot{x}_2 - \dot{x}_1) \quad (1)$$

D'où l'équation différentielle en  $x_2(t)$  :  $m_2 \ddot{x}_2 + \alpha \dot{x}_2 + k x_2 = \alpha \dot{x}_1 + k(x_1 + l_0)$  ;

Sous forme canonique :  $\ddot{x}_2 + \frac{\alpha}{m_2} \dot{x}_2 + \frac{k}{m_2} x_2(t) = \frac{\alpha}{m_2} \dot{x}_1 + \frac{k l_0}{m_2} + \frac{k x_1}{m_2}$ .

**Q5.** On pose  $u_2(t) = x_2(t) - l_0$  alors  $\ddot{u}_2 = \ddot{x}_2$  et  $\dot{u}_2 = \dot{x}_2$ .

L'équation précédente s'écrit alors :  $\ddot{x}_2 + \frac{\alpha}{m_2} \dot{x}_2 + \frac{k}{m_2} (x_2(t) - l_0) = \frac{\alpha}{m_2} \dot{x}_1 + \frac{k x_1}{m_2}$ .

D'où l'équation différentielle en  $u_2(t)$  :  $\ddot{u}_2 + \frac{\alpha}{m_2} \dot{u}_2 + \frac{k}{m_2} u_2(t) = \frac{\alpha}{m_2} \dot{x}_1 + \frac{k x_1}{m_2}$ .

De la forme :  $\ddot{u}_2 + \frac{\omega_0}{Q} \dot{u}_2 + \omega_0^2 u_2(t) = \frac{\omega_0}{Q} \dot{x}_1 + \omega_0^2 x_1(t)$

avec  $\omega_0 = \sqrt{\frac{k}{m_2}}$  : **pulsation propre** de l'oscillateur : pulsation des oscillations sans frottement.

Et  $Q$  le **facteur de qualité** est tel que :  $\frac{\omega_0}{Q} = \frac{\alpha}{m_2}$  ; D'où  $Q = \frac{m\omega_0}{\alpha} = \frac{m}{\alpha} \sqrt{\frac{k}{m_2}}$  ; Soit :  $Q = \frac{\sqrt{km_2}}{\alpha}$ .

**Q6.** Passage aux complexes :  $\ddot{u}_2 + \frac{\omega_0}{Q} \dot{u}_2 + \omega_0^2 u_2 = \frac{\omega_0}{Q} \dot{x}_1 + \omega_0^2 x_1$ .

De plus, une dérivation par rapport au temps correspond à une multiplication par  $(j\omega)$  et une dérivée seconde à une multiplication par  $(-\omega^2)$ .

L'équation précédente devient donc :  $(-\omega^2 + j\omega \frac{\omega_0}{Q} + \omega_0^2) \underline{u}_2 = (j\omega \frac{\omega_0}{Q} + \omega_0^2) \underline{x}_1$ .

On nous donne :  $\underline{u}_2(t) = \underline{U}_0 e^{j\omega t}$  et on pose :  $\underline{x}_1 = \underline{X}_1 e^{j\omega t}$ .

Il vient donc :  $(\omega_0^2 - \omega^2 + j\omega \frac{\omega_0}{Q}) \underline{U}_0 = (j\omega \frac{\omega_0}{Q} + \omega_0^2) \underline{X}_1$

**Q6 (suite).** Alors  $\underline{H}(j\omega) = \frac{u_2}{x_1} = \frac{U_0}{X_1}$ ; D'où :  $\underline{H}(j\omega) = \frac{j\omega \frac{\omega_0}{Q} + \omega_0^2}{\omega_0^2 - \omega^2 + j\omega \frac{\omega_0}{Q}}$ .

On pose :  $x = \frac{\omega}{\omega_0}$ ; Alors :  $\underline{H}(j\omega) = \frac{j\omega \frac{\omega_0}{Q} + \omega_0^2}{\omega_0^2 - \omega^2 + j\omega \frac{\omega_0}{Q}} = \frac{\frac{\omega_0^2}{\omega_0^2} + j\frac{\omega}{\omega_0} \frac{1}{Q}}{\frac{\omega_0^2}{\omega_0^2} - \frac{\omega^2}{\omega_0^2} + j\frac{\omega}{\omega_0} \frac{1}{Q}}$  en divisant numérateur et dénominateur par  $\omega_0^2$ . Ainsi :  $\underline{H}(jx) = \frac{1+j\frac{x}{Q}}{1-x^2+j\frac{x}{Q}}$ . Par identification,  $\sigma = 1$ .

**Q7.** Alors  $G(x) = |\underline{H}(jx)| = \frac{\sqrt{1+\frac{x^2}{Q^2}}}{\sqrt{(1-x^2)^2 + \frac{x^2}{Q^2}}}$ .

**Q8.** Au maximum de la courbe, on parle de **phénomène de résonance**.

**Q9.** D'après l'énoncé, on peut considérer que le numérateur est constant, ainsi on ne s'intéresse qu'au dénominateur.

Ainsi, on pose  $D(x) = (1 - x^2)^2 + \frac{x^2}{Q^2}$ .

$G(x)$  passe par un max, quand le dénominateur est minimum, donc quand  $\frac{dD}{dx} = 0$ .

Or  $\frac{dD}{dx} = 2(1 - x^2)(-2x) + \frac{2x}{Q^2} = 2x \left[ \frac{1}{Q^2} - 2 + 2x^2 \right]$ .

Alors  $\frac{dD}{dx} = 0$  pour  $\frac{1}{Q^2} - 2 + 2x_r^2 = 0$ ; La valeur  $x = 0$  correspond à la tangente horizontale en  $x = 0$ .

Alors  $2x_r^2 = 2 - \frac{1}{Q^2}$ ; Soit  $x_r = \sqrt{1 - \frac{1}{2Q^2}} > 0$ ;

(L'autre valeur de  $x_r$  serait négative ce qui est impossible pour un rapport de pulsations).

On remarque ainsi que  $x_r$  n'existe que si la quantité sous la racine est positive, donc si  $1 - \frac{1}{2Q^2} > 0$

Alors  $\frac{1}{2Q^2} < 1$ ; Ou encore :  $2Q^2 > 1$ ; Ainsi  $Q > \frac{1}{\sqrt{2}} \approx 0,7$ .

**Conclusion** : Cela correspond bien au graphe de la figure 3 qui présente un **maximum pour  $Q = 1,5$  et pour  $Q = 5$ , mais pas de maximum pour  $Q = 0,5$** .

**Q10.** Si  $Q \gg 1$ ,  $x_r \approx 1$  (Cohérent avec le graphe).

III - Détermination plus fine de la fréquence de résonance :

**Q11.** Pour chaque masse, on a poids et réaction du support qui sont des forces verticales.

A l'horizontal, il reste la force de Hooke pour  $m_1$  :

$\vec{F}_1 = +k(l - l_0)\vec{e}_x$ , car qd  $l > l_0$ , la force est bien vers la droite.

Soit :  $\vec{F}_1 = +k(x_2 - x_1 - l_0)\vec{e}_x$ .

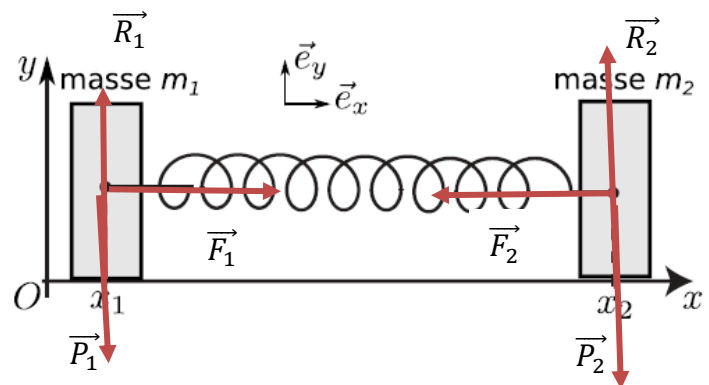
La 2<sup>ème</sup> loi de Newton (pour  $m_1$ ) projetée sur  $\vec{e}_x$ , conduit à :  $m_1\ddot{x}_1 = +k(x_2 - x_1 - l_0)$ ;

Soit sous forme canonique :  $\ddot{x}_1 + \frac{k}{m_1}x_1 = \frac{k}{m_1}x_2 - \frac{k}{m_1}l_0$  (équation (3))

De même sur  $m_2$  :  $\vec{F}_2 = -k(l - l_0)\vec{e}_x$ , car qd  $l > l_0$ , la force est bien vers la gauche.

Soit :  $\vec{F}_2 = -k(x_2 - x_1 - l_0)\vec{e}_x$ ; Et l'équation du mouvement de  $m_2$  s'écrit :

$m_2\ddot{x}_2 = -k(x_2 - x_1 - l_0)$ ; Soit sous forme canonique :  $\ddot{x}_2 + \frac{k}{m_2}x_2 = \frac{k}{m_2}x_1 + \frac{k}{m_2}l_0$  (équation (4))



**Q12.** On nous donne :  $l(t) = x_2(t) - x_1(t)$  .

Alors  $\ddot{l} = \ddot{x}_2 - \ddot{x}_1$  . En faisant (4) - (3), on obtient :  $\ddot{x}_2 - \ddot{x}_1 + \frac{k}{m_2} x_2 - \frac{k}{m_1} x_1 = \frac{k}{m_2} x_1 - \frac{k}{m_1} x_2 + \frac{k}{m_2} l_0 + \frac{k}{m_1} l_0$

Ainsi :  $\ddot{x}_2 - \ddot{x}_1 + x_2 \left( \frac{k}{m_1} + \frac{k}{m_2} \right) - x_1 \left( \frac{k}{m_1} + \frac{k}{m_2} \right) = l_0 \left( \frac{k}{m_1} + \frac{k}{m_2} \right)$

Ou encore :  $\ddot{x}_2 - \ddot{x}_1 + (x_2 - x_1) \left( \frac{k}{m_1} + \frac{k}{m_2} \right) = l_0 \left( \frac{k}{m_1} + \frac{k}{m_2} \right)$ .

Ainsi, on obtient :  $\boxed{\ddot{l} + \left( \frac{k}{m_1} + \frac{k}{m_2} \right) l(t) = k l_0 \left( \frac{1}{m_1} + \frac{1}{m_2} \right)}$ .

Par identification avec  $\ddot{l} + \omega_0'^2 l(t) = cste$ , on obtient :  $\boxed{\omega_0' = \sqrt{\left( \frac{k}{m_1} + \frac{k}{m_2} \right)}}$ .

**Q13.** Il faut donc résoudre cette équation différentielle :

La solution est la somme de :

- La solution homogène :  $l_h(t) = A \cos(\omega_0' t) + B \sin(\omega_0' t)$ .
- La solution particulière constante :  $l_p = l_0$ .

D'où  $l(t) = A \cos(\omega_0' t) + B \sin(\omega_0' t) + l_0$ .

1<sup>ère</sup> CI : A  $t = 0$ ,  $l(0) = l_0 - \delta = A + l_0$  ; Soit :  $A = -\delta$ .

De plus,  $\dot{l}(t) = -A\omega_0' \sin(\omega_0' t) + B\omega_0' \cos(\omega_0' t)$  .

2<sup>me</sup> CI : A  $t = 0$ ,  $\dot{l}(0) = 0$  (pas de vitesse initiale).

D'où  $B\omega_0' = 0$  ; Soit :  $B = 0$ .

Conclusion :  $\boxed{l(t) = l_0 - \delta \cos(\omega_0' t)}$ .

**Q14.** On nous donne  $f_r = 84 \times \sqrt{\frac{1}{d} \left( \frac{1}{m_1'} + \frac{1}{m_2'} \right)}$

Pour envoyer le pic de résonance vers les basses fréquences, il faut  **$f_r$  faible** ;

Donc il faut **augmenter les masses des vitres** (qui se trouvent au dénominateur dans l'expression de  $f_r$ ).

## PROBLEME 2 : Modélisation du comportement thermique d'une habitation :

(D'après EPITA -IPSA MP, PSI, PC 2022)

(≈ 57 pts)

**Q1.** On nous donne  $T = 24 \text{ h}$  ; Alors  $\omega = \frac{2\pi}{T}$  ; AN :  $\omega = \frac{2\pi}{24 \times 3600}$  ; on obtient :  $\omega \approx 7,3 \cdot 10^{-5} \text{ rad.s}^{-1}$ .

**Q2.** Il faut utiliser les équivalents basse fréquence et haute fréquence des condensateurs :

En BF, le condensateur est équivalent à un interrupteur ouvert.

Le circuit devient ci-contre.

Toutes les intensités sont nulles.

Ainsi  $u_1 = e$  ; Et  $H = 1$  ; D'où  $G_{dB} \xrightarrow{\text{BF}} 0$  ;

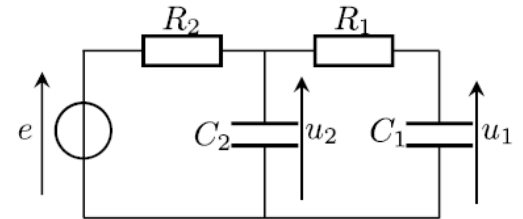
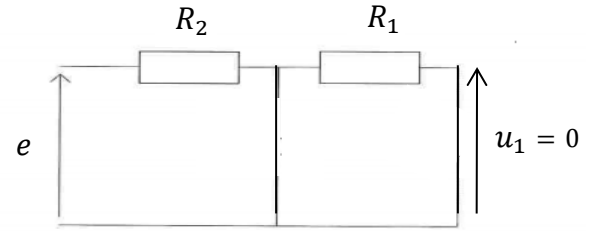
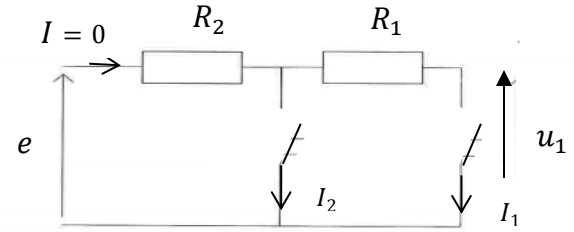
En HF, le condensateur est équivalent à un interrupteur fermé.

Le circuit devient ci-contre.

$u_1$  est la tension aux bornes d'un fil ;

Ainsi  $u_1 = 0$  ; Et  $H = 0$  . D'où  $G_{dB} \xrightarrow{\text{HF}} -\infty$  ;

L'allure globale sera donc  
D'où un **filtre passe bas attendu**.



**Q3.**  $R_1$  et  $C_1$  sont en série. Cette association est en parallèle sur  $C_2$ .

D'où :  $Z_{eq} = \frac{Z_{C2}(Z_{C1} + Z_{R1})}{Z_{C1} + Z_{C2} + Z_{R1}} = \frac{\frac{1}{jC_2\omega}(\frac{1}{jC_1\omega} + R_1)}{\frac{1}{jC_1\omega} + \frac{1}{jC_2\omega} + R_1} = \frac{\frac{1}{jC_1\omega} + R_1}{1 + \frac{C_2}{C_1} + jR_1C_2\omega}$  ;

Ou encore :  $Z_{eq} = \frac{1 + jR_1C_1\omega}{jC_1\omega + jC_2\omega - R_1C_1C_2\omega^2} = \frac{1 + jR_1C_1\omega}{j\omega(C_1 + C_2) - R_1C_1C_2\omega^2}$  .

**Q4.** Pour deux impédances  $Z_1$  et  $Z_2$  en dérivation.

Alors  $Z_{eq} = \frac{Z_1 \times Z_2}{Z_1 + Z_2}$  ; Et si  $|Z_1| \gg |Z_2|$ , alors  $Z_1 + Z_2 \approx Z_1$  .

D'où  $Z_{eq} \approx \frac{Z_1 \times Z_2}{Z_1}$  ; Ainsi  $Z_{eq} \approx Z_2$  .

Autre méthode : Pour une association parallèle, on a :  $\frac{1}{Z_{eq}} = \frac{1}{Z_1} + \frac{1}{Z_2}$  .

Or si  $|Z_1| \gg |Z_2|$ , alors  $\frac{1}{Z_1} \ll \frac{1}{Z_2}$  ; Ainsi  $\frac{1}{Z_{eq}} \approx \frac{1}{Z_2}$  ; Et  $Z_{eq} \approx Z_2$  .

**Q5.** On nous donne  $Z_{eq} \approx \frac{1}{jC_2\omega}$  . On cherche  $H = \frac{u_1}{e}$  ;

A la sortie,  $R_1$  et  $C_1$  sont en série. On peut utiliser un pont diviseur de tensions :

$\frac{u_1}{u_2} = \frac{Z_{C1}}{Z_{C1} + Z_{R1}} = \frac{\frac{1}{jC_1\omega}}{R_1 + \frac{1}{jC_1\omega}}$  ; Soit  $\frac{u_1}{u_2} = \frac{1}{1 + jR_1C_1\omega}$  .

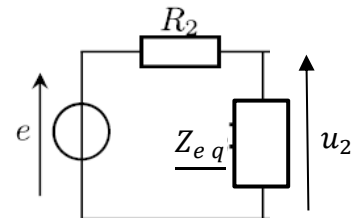
Puis, on utilise  $Z_{eq} : Z_{eq}$  est en série avec  $R_2$  . On peut utiliser un pont diviseur

de tensions :  $\frac{u_2}{e} = \frac{Z_{eq}}{Z_{eq} + Z_{R2}} = \frac{\frac{1}{jC_2\omega}}{R_2 + \frac{1}{jC_2\omega}}$  ; Soit  $\frac{u_2}{e} = \frac{1}{1 + jR_2C_2\omega}$  .

Enfin,  $H = \frac{u_1}{e} = \frac{u_1}{u_2} \times \frac{u_2}{e} = \frac{1}{1 + jR_1C_1\omega} \times \frac{1}{1 + jR_2C_2\omega}$  .

Soit :  $H = \frac{u_1}{e} = \frac{1}{(1 + jR_1C_1\omega)(1 + jR_2C_2\omega)} = \frac{1}{1 + j(R_1C_1 + R_2C_2)\omega - R_1C_1R_2C_2\omega^2}$

De la forme :  $H(j\omega) = \frac{1}{(1 + j\frac{\omega}{\omega_1})(1 + j\frac{\omega}{\omega_2})}$  avec  $\omega_1 = \frac{1}{R_1C_1}$  et  $\omega_2 = \frac{1}{R_2C_2}$



**Q6. Étude asymptotique :**  $\underline{H}(j\omega) = \frac{1}{1 - \frac{\omega^2}{\omega_1 \omega_2} + j \left( \frac{\omega}{\omega_1} + \frac{\omega}{\omega_2} \right)}$ .

✓ En BF : Si  $\omega \ll \omega_i$  :  $\underline{H} \sim 1$   
 Donc  $G_{dB} \rightarrow 20 \log(1) = 0$   
Asymptote horizontale en 0 en BF.  
 Et  $\varphi \rightarrow 0$ .

✓ En HF : Si  $\omega \gg \omega_i$  :  $\underline{H} \sim -\frac{1}{\frac{\omega^2}{\omega_1 \omega_2}} \sim -\frac{\omega_1 \omega_2}{\omega^2}$  et  $G \sim \frac{\omega_1 \omega_2}{\omega^2}$   
 Donc  $G_{dB} \rightarrow 20 \log\left(\frac{\omega_1 \omega_2}{\omega^2}\right) = 20 \log(\omega_1 \omega_2) - 40 \log \omega$   
Asymptote oblique de pente - 40 dB par décade en HF.  
 Et  $\varphi \rightarrow \pi$  ou  $-\pi$  ; Or  $\sin \varphi = -\frac{(R_1 C_1 + R_2 C_2) \omega}{|Den|} < 0$  donc  $\varphi \rightarrow -\pi$ .

Autre méthode :  $\underline{H}(j\omega) = \underline{H}_1 \times \underline{H}_2$  avec  $\underline{H}_1 = \frac{1}{(1+j\omega/\omega_1)}$  et  $\underline{H}_2 = \frac{1}{(1+j\omega/\omega_2)}$ .

Pour  $\underline{H}_1$  et  $\underline{H}_2$ , on reconnaît des fonctions de transfert de filtres passe-bas d'ordre 1.

Ainsi :  $G(\omega) = G_1 G_2$  ; Donc  $G_{dB} = G_{1dB} + G_{2dB}$  et  $\varphi = \varphi_1 + \varphi_2$

Étude asymptotique de  $\underline{H}_1(j\omega) = \frac{1}{1+j\frac{\omega}{\omega_1}}$  : On reconnaît la fonction de transfert d'un filtre passe bas du 1<sup>er</sup> ordre.

✓ En BF : Si  $\omega \ll \omega_1$  :  $\underline{H}_1 \sim 1$   $\left\{ \begin{array}{l} \text{Donc } G_{1dB} \rightarrow 20 \log(1) = 0. \\ \text{Asymptote horizontale en BF.} \\ \text{Et } \varphi_1 \rightarrow 0. \end{array} \right.$

✓ En HF : Si  $\omega \gg \omega_1$  :  $\underline{H}_1 \sim \frac{1}{j\frac{\omega}{\omega_1}} \sim -j \frac{\omega_1}{\omega}$   $\left\{ \begin{array}{l} \text{Donc } G_{1dB} \rightarrow 20 \log\left(\frac{\omega_1}{\omega}\right) = 20 \log(\omega_1) - 20 \log(\omega) : \\ \text{Asymptote oblique de pente - 20 dB par décade en HF.} \\ \text{Et } \varphi_1 \rightarrow -\frac{\pi}{2}. \end{array} \right.$

De même pour  $\underline{H}_2$  ; En comme  $G_{dB} = G_{1dB} + G_{2dB}$  et  $\varphi = \varphi_1 + \varphi_2$

On retrouve bien les mêmes conclusions que par l'autre méthode.

**Q7.**  $G_{dB} = 20 \log(|\underline{H}|) = 20 \log \left( \frac{1}{\sqrt{1 + \left(\frac{\omega}{\omega_1}\right)^2} \sqrt{1 + \left(\frac{\omega}{\omega_2}\right)^2}} \right)$ .

**Q8.** On nous précise que :

- Dans le cas d'une isolation par l'intérieur :  $\omega_1 = 2,5 \cdot 10^{-6} \text{ rad.s}^{-1}$  et  $\omega_2 \rightarrow \infty$ .

Alors  $\underline{H}(j\omega) \approx \underline{H}_1$  et  $G_{dB} \approx G_{1dB}$  : Pulsation de coupure en  $\omega_1 = 2,5 \cdot 10^{-6} \text{ rad.s}^{-1}$ . ( $G_{dB \text{ max}} - 3 \text{ dB} = -3 \text{ dB}$ ).

Cela correspond donc au tracé en **trait plein**.

- Dans le cas d'une isolation par l'extérieur :  $\omega_1 \rightarrow \infty$  et  $\omega_2 = 2,5 \cdot 10^{-7} \text{ rad.s}^{-1}$ . Même raisonnement.

Alors  $\underline{H}(j\omega) \approx \underline{H}_2$  et  $G_{dB} \approx G_{2dB}$  : Pulsation de coupure en  $\omega_1 = 2,5 \cdot 10^{-7} \text{ rad.s}^{-1}$ . ( $G_{dB \text{ max}} - 3 \text{ dB} = -3 \text{ dB}$ ).

Cela correspond donc au tracé en **traits pointillés**.

**Q9.** On considère le diagramme de Bode en trait plein.

On nous donne  $E_0 = 10 \text{ V}$ . On cherche  $U_1$  à la pulsation  $\omega \approx 7,3 \cdot 10^{-5} \text{ rad.s}^{-1}$  (comme vu en Q1).

Graphiquement, on lit que pour  $\omega \approx 7,3 \cdot 10^{-5} \text{ rad.s}^{-1}$ , alors  $G_{dB}(\text{trait plein}) = -30 \text{ dB} = 20 \log(G(x))$

Soit  $\log(G(x)) = -\frac{30}{20} = -\frac{3}{2}$  et  $G(x) = 10^{-\frac{3}{2}} \approx 0,032 = \frac{U_1}{E_0}$  ; Ainsi  $U_1 \approx 0,032 E_0$ .

AN :  $U_1 \approx 0,32 \text{ V}$ .

**Q10.** De même avec le diagramme de Bode en traits pointillés.

Graphiquement, on lit que pour  $\omega \approx 7,3 \cdot 10^{-5} \text{ rad.s}^{-1}$ , alors  $G_{dB}(\text{traits pointillés}) = -50 \text{ dB} = 20 \log(G(x))$

Soit  $\log(G(x)) = -\frac{50}{20} = -\frac{5}{2}$  et  $G(x) = 10^{-\frac{5}{2}} \approx 0,0032 = \frac{U_1}{E_0}$ ; Ainsi  $U_1 \approx 0,0032 E_0$ .

AN :  $U_1 \approx 0,032 \text{ V}$ .

Conclusion : Comme la tension  $u_1(t)$  représente l'évolution de la température intérieure, on cherche à ce qu'elle varie le moins possible. Ainsi, **mieux vaut une isolation par l'extérieur.**

**Q11.** Puisque  $\varphi_1 = -\frac{\pi}{2}$  à cette fréquence,  **$u_1(t)$  est en retard par rapport à  $e(t)$** , d'un quart de période,

En effet :  $T \leftrightarrow 2\pi$

Et  $t_0 \leftrightarrow \frac{\pi}{2}$  ; D'où  $t_0 = \frac{T \times \frac{\pi}{2}}{2\pi}$ . on obtient  $\boxed{t_0 = \frac{T}{4}}$ .

Or  $T = 24 \text{ h}$  donc  **$t_0 = 6 \text{ h}$** .



### PROBLEME 3 : Traitement d'un signal :

(≈ 30 pts)

(D'après Centrale- Supélec MP 2022)

**Q1.** D'après l'énoncé, on souhaite un filtre qui coupe les fréquences supérieures à 1 Hz, il faut donc un filtre passe bas.

#### Filtre A :

En BF, le condensateur est équivalent à un interrupteur ouvert.

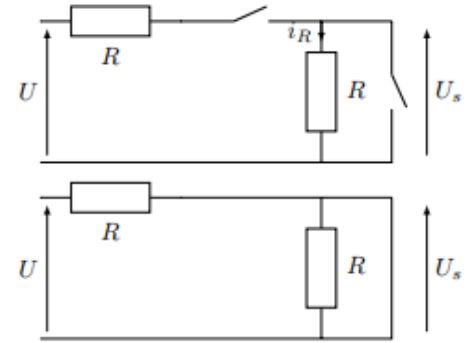
Le circuit devient ci-contre.  $i_R = 0$  ; Alors  $\underline{U_S} \approx 0$  ;

Ainsi  $\underline{H} \approx 0$  et  $\boxed{G_{dB} \xrightarrow{BF} -\infty}$ .

En HF, le condensateur est équivalent à un interrupteur fermé.

Le circuit devient ci-contre. Alors  $\underline{U_S} \approx 0$  ; Ainsi  $\underline{H} \approx 0$  et  $\boxed{G_{dB} \xrightarrow{HF} -\infty}$ .

Conclusion : Le filtre A est un filtre passe-bande.



#### Filtre B :

En BF, le condensateur est équivalent à un interrupteur ouvert.

Le circuit devient ci-contre.  $i = 0$  ; Alors  $\underline{U_S} \approx \underline{U}$  ;

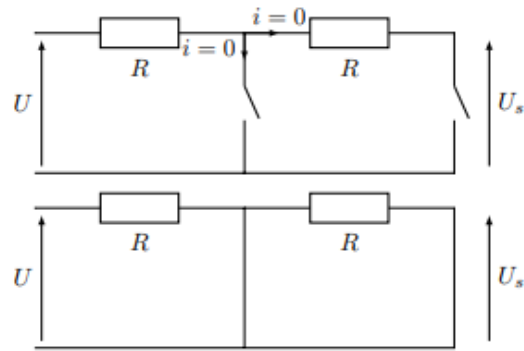
Ainsi  $\underline{H} \approx 1$  et  $\boxed{G_{dB} \xrightarrow{BF} 0}$ .

En HF, le condensateur est équivalent à un interrupteur fermé.

Le circuit devient ci-contre. Alors  $\underline{U_S} \approx 0$  ; Ainsi  $\underline{H} \approx 0$  et  $\boxed{G_{dB} \xrightarrow{HF} -\infty}$ .

Conclusion : Le filtre B est un filtre passe-bas.

On choisit donc le filtre B.



**Q2.** On nous donne  $\underline{H}(j\omega) = \frac{1}{1+3jRC\omega-R^2C^2\omega^2}$  ;

On veut couper des fréquences supérieures à 1 Hz.

Il faudrait donc un point d'intersection des asymptotes à une fréquence  $f_0 \approx 0,1$  Hz (1 décade avant).

En posant  $x = RC \omega$  ; Alors on obtient :  $\boxed{\underline{H}(jx) = \frac{1}{1-x^2+3jx}}$

Etude asymptotique :

✓ BF : Si  $x \ll 1$  :  $\underline{H} \sim 1$

Donc  $G_{dB} \rightarrow 20 \log(1) = 0$

Asymptote horizontale en 0 en BF.

✓ HF : Si  $x \gg 1$  :  $\underline{H} \sim -\frac{1}{x^2}$  et  $G \sim \frac{1}{x^2}$

Donc  $G_{dB} \rightarrow 20 \log(\frac{1}{x^2}) = -40 \log x$

Asymptote oblique de pente - 40 dB par décade en HF.

✓ Intersection des asymptotes :

Pour  $0 = -40 \log x$  ; Soit  $\log(x) = 0$  et  $x = 1$ .

✓ D'où l'allure du diagramme de Bode asymptotique ci-contre.

Conclusion : Il faudrait donc  $x_0 = RC \omega_0 = 1$  ;

Soit :  $\omega_0 = \frac{1}{RC} = 2\pi f_0$  ; D'où :  $\boxed{RC = \frac{1}{2\pi f_0}}$ .

AN :  $RC = \frac{1}{2\pi \times 0,1}$  ; on obtient :  $RC \approx 1,6$  s.

Avec les ordres de grandeurs usuels, on pourrait choisir

$C = 1 \mu F$  et  $R = 1,6 M\Omega$ .

